

05.2;12

©1994

## ЭФФЕКТ ДИСПЕРСНОСТИ И КАТИОННОЕ РАСПРЕДЕЛЕНИЕ В ФЕРРИТОВЫХ ПОРОШКАХ, ПОЛУЧЕННЫХ НЕТРАДИЦИОННЫМИ СПОСОБАМИ

*A.С.Камзин, Т.Г.Кузьмичева, Л.П.Ольховик*

В последнее время гексагональные ферриты типа  $\text{BaFe}_{12}\text{O}_{19}$  в виде однодоменных пластинчатых кристаллов стали вновь объектом пристального изучения благодаря их успешному использованию в качестве носителей высокоплотной магнитной записи (ВМЗ).

Оптимальными составами, по всем магнитным параметрам удовлетворяющими требованиям ВМЗ, являются замещенные ферриты бария  $\text{BaFe}_{12-2x}\text{Co}_x\text{Ti}_x\text{O}_{19}$  [1]. При концентрации  $x < 1$  в области температур  $200\text{ K} < T < T_c$  феррит имеет коллинеарную магнитную структуру с осью легкого намагничивания, параллельной гексагональной оси кристалла [2].

Как известно, определяющую роль в формировании магнитной структуры анизотропных свойств гексагональных ферритов типа  $M$  играют ионы  $\text{Fe}^{3+}$ , локализованные в определенных кристаллографических позициях. Это, прежде всего, пентаэдрическая  $2b$ -позиция с сильным осевым градиентом электрического поля (ГЭП) и низкомимметричный  $12k$ -октаэдр [3,4]. В Со-замещенных гексаферритах энергия магнитокристаллической анизотропии определяется не только энергией спин-орбитального взаимодействия ( $E_{LS}$ ) ионов  $\text{Fe}^{3+}$  ( $2b$ ) и  $\text{Fe}^{3+}$  ( $12k$ ), но и  $E_{LS}$  ионов  $\text{Co}^{2+}$ , локализованных в высокосимметричном  $2a$ -октаэдре [5]. При этом следует отметить, что катионное распределение в исследуемой системе ферритов существенным образом зависит от способа получения [2,6].

В данной работе высокодисперсные ферритовые порошки состава  $\text{BaFe}_{10.4}\text{Co}_{0.8}\text{Ti}_{0.8}\text{O}_{19}$  в виде однодоменных пластинчатых кристаллов шестигранной формы были получены нетрадиционными методами. Один из них, базовый (оптимизированный метод соосаждения из расплава), подробно изложен в работе [7], другой отличается от базового условиями прохождения реакции ферритизации. А именно, термообработка шихты проводилась непосредственно в пучке ускоренных электронов на ускорителе ЭЛВ-2 [8].

Заселенность подрешеток ионами  $\text{Fe}^{3+}$  и намагниченность насыщения высокодисперсных ферритовых порошков

Подрешетка	$\text{BaFe}_{12}\text{O}_{19}$ (макро- кристалл)	$\text{BaFe}_{10.4}\text{Co}_{0.8}\text{Ti}_{0.8}\text{O}_{19}$	
		Метод получения	
		соосаждение из расплава	радиационный синтез
$2b$	1	$0.9 \pm 0.01$	$0.8 \pm 0.01$
$12k$	6	$5.3 \pm 0.1$	$6.0 \pm 0.1$
$2a$	1	$1.1 \pm 0.1$	$1.0 \pm 0.1$
$(4f_1 + 4f_2)$	4	$3.1 \pm 0.1$	$2.6 \pm 0.1$
$\sigma_s \pm 2\%, \text{ Гс}\cdot\text{г}^{-1}\cdot\text{см}^3 (T = 300 \text{ K})$		57	49

Как оказалось, ферритовые порошки, полученные двумя способами, отличаются по свойствам [8], в частности, имеют различные значения намагниченности насыщения ( $\sigma_s$ ) (см. таблицу). Причиной этого может быть отличие в катионном распределении. В связи с этим были проведены исследования мессбауэровских спектров при температуре выше температуры Кюри ( $T_c = 345^\circ\text{C}$ ). Использовался автоматический спектрометр с повышенной точностью обработки закона движения источника  $\gamma$ -квантов  $\text{Co}^{57}$  (Rh) (интенсивность 50 мКи, калибровка относительно  $\alpha$ -Fe) [9]. Обработка спектров (разложение на симметричные дублеты) проводилась на персональном компьютере по соответствующей программе. Для идентификации линий использовалась подгоночная модель парамагнитного спектра бариевого феррита [10].

Экспериментальные парамагнитные спектры исследуемых порошков (рис. 1), так же как и спектр исходного бариевого феррита, представляют собой два хорошо разрешимых дублета, отличающиеся по скоростям. Высокоскоростной дублет соответствует  $\text{Fe}^{3+}$  в  $2b$ -позиции с сильным осевым ГЭП. Центральный дублет представляет собой суперпозицию четырех дублетов от  $\text{Fe}^{3+}$ , локализованных в октаэдрах  $2a$ ,  $4f_2$ ,  $12k$ , отличающихся степенью локальных искажений, и в тетраэдре  $4f_1$ . Разложение центрального дублета было сведено к следующей модели: наиболее интенсивный крайний дублет от  $\text{Fe}^{3+}$  в  $12k$ -октаэдре (точечная симметрия  $C_s$ ), затем от  $\text{Fe}^{3+}$  в одинаковых по симметрии ( $C_{3v}$ )  $4f_1$  и  $4f_2$  позициях и, наконец, дублет от  $\text{Fe}^{3+}$ , локализованных в самой симметричной ( $D_{3d}$ ) кристаллографической позиции  $2a$  (точечная симметрия дана относительно бариевого феррита). На рис. 1 экспериментальные спектры представлены точка-

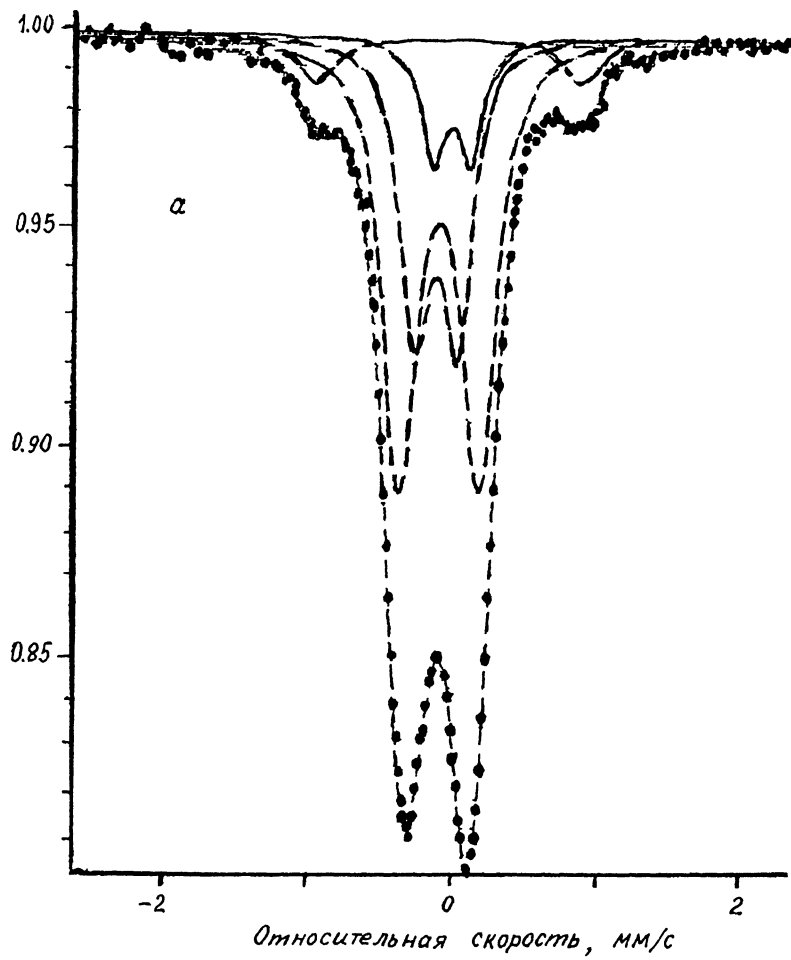


Рис. 1. Экспериментальные и расчетные ЯГР спектры ферритовых порошков  $\text{BaFe}_{10.4}\text{Co}_{0.8}\text{Ti}_{0.8}\text{O}_{19}$ , полученных разными методами.  $T = 400^\circ\text{C}$ .

*a* — соосаждение из расплава.

ми, пунктирными линиями — дублеты от подрешеток в соответствии с предложенной моделью. Огибающая экспериментального спектра является результатом его обработки по методу наименьших квадратов. По значениям относительной площади подспектров, в предположении коллинеарной магнитной структуры феррита, определена заселенность подрешеток ионами железа.

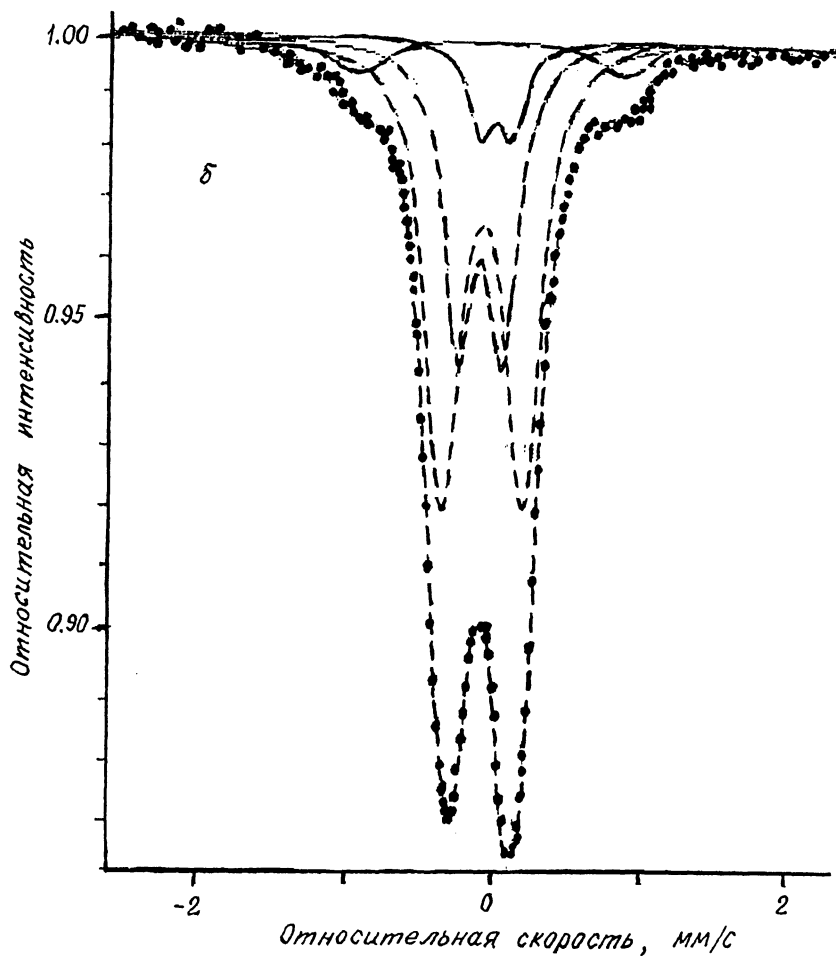


Рис. 1. (продолжение).

б — синтез в электронном пучке.

Как видно из таблицы, в ферритовом материале, синтезированном методом соосаждения и расплава, замещающие ионы локализуются практически во всех кристаллографических позициях, кроме 2a-октаэдра. Иная картина заселенности подрешеток наблюдается в порошковом образце того же состава, синтезированном в электронном пучке. За счет радиационно-стимулированной диффузии усиленно заселяются замещающими ионами 2b-позиции, в то время как 12k-октаэдры заняты исключительно ионами  $\text{Fe}^{3+}$ . Такое

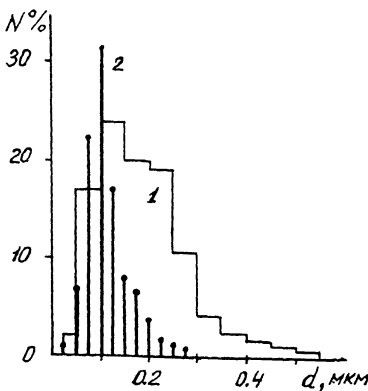


Рис. 2. Функция распределения по размерам частиц ферритовых порошков  $\text{BaFe}_{10.4}\text{Co}_{0.8}\text{Ti}_{0.8}\text{O}_{10}$ , полученных методом соосаждения из расплава (1) и в электронном пучке (2).

катионное перераспределение, в предположении гортеровской модели магнитного упорядочения, должно было бы привести к увеличению намагниченности насыщения ферритового порошка, полученного в электронном пучке. Однако эксперимент показал уменьшение  $\sigma_s$  более чем на 10% (см. таблицу). Как показал рентгеновский анализ (точность не хуже 5%), исследуемые высокодисперсные материалы однодофазны. Следовательно, наблюдаемый эффект не связан с примесью немагнитных (слабомагнитных) фаз.

Данные ферритовые порошки имеют еще одну особенность — различную дисперсность. Как видно из рис. 2, более 60% частиц порошка, синтезированного в электронном пучке, имеют диаметр  $d \lesssim 1000 \text{ \AA}$  при отношении диаметра к толщине кристалла  $d/h \simeq 7-10$ , в то время как в порошке, полученном по базовому методу, количество подобных частиц порядка 15% (причем  $d/h \simeq 2-5$ ). Если соотнести толщину пластинчатого микрокристалла с параметром решетки гексаферрита типа  $M$  ( $c \simeq 23 \text{ \AA}$ ), то в первом из рассматриваемых порошков содержится больше половины частиц с линейным размером вдоль гексагональной оси  $c$  в несколько параметров решетки. Исследуя высокодисперсные системы, содержащие подобные частицы, нельзя пренебрегать ролью открытой поверхности кристалла в формировании макроскопических свойств материала [11]. В данном случае для обоих порошков возможно возмущение магнитной структуры поверхности. Однако у более тонких микрокристаллов (4-5 параметров решетки) область возмущения может распространяться на весь объем частицы в целом.

Таким образом, причиной наблюдаемого понижения намагниченности насыщения является эффект дисперсности порошков.

### Список литературы

- [1] *Kubo O., Ido T., Yokoyama H.* // IEEE Trans. Magn. MAG. V. 18. 1982. P. 1122.
- [2] *Жиляков С.М., Найден Е.П., Рябцев Г.И.* // Изв. вузов. 1992. В. 9. С. 25–32.
- [3] *Fuchikami N.* // J. Phys. Soc. Jap. 1965. V. 20. N 5. P. 760–769.
- [4] *Мамалуй Ю.А., Ольховик Л.П., Чечерская Л.Ф.* // Физика и техника высоких давлений. 1983. В. 12. С. 17–28.
- [5] *Мамалуй Ю.А., Муреховский А.А.* // УФЖ. 1972. Т. 17. В. 3. С. 393–396.
- [6] *Deriu A., Calabrese E., Paoluzi A., Turilli G.* // Hyperfine Interactions. 1989. V. 45. P. 271–276.
- [7] *Borisova N.M., Golubenko Z.V., Kuz'micheva T.G., Ol'khovik L.P., Shabatin V.P.* // JMMM. 1992. V. 114. P. 317–328.
- [8] *Борисова Н.М., Ольховик Л.П., Пышненко О.В.* // Тез. докл. VI науч. сем. "Физика магнитных явлений". Донецк. 1993. С. 179.
- [9] *Камзин А.С., Иркаев С.М., Мальцев Ю.Н., Григорьев Л.А.* // Приборы и техника эксперимента. 1993. В. 1. С. 80–89.
- [10] *Albanese G., Asti G.* // Nuovo Cim. 1968. V. 58B. N 2. P. 480–488.
- [11] *Morrish A.H., Haneda K.* // JMMM. 1983. V. 35. P. 105–113.

Физико-технический институт  
им. А.Ф.Иоффе РАН  
Санкт-Петербург  
Харьковский государственный  
университет

Поступило в Редакцию  
11 января 1994 г.